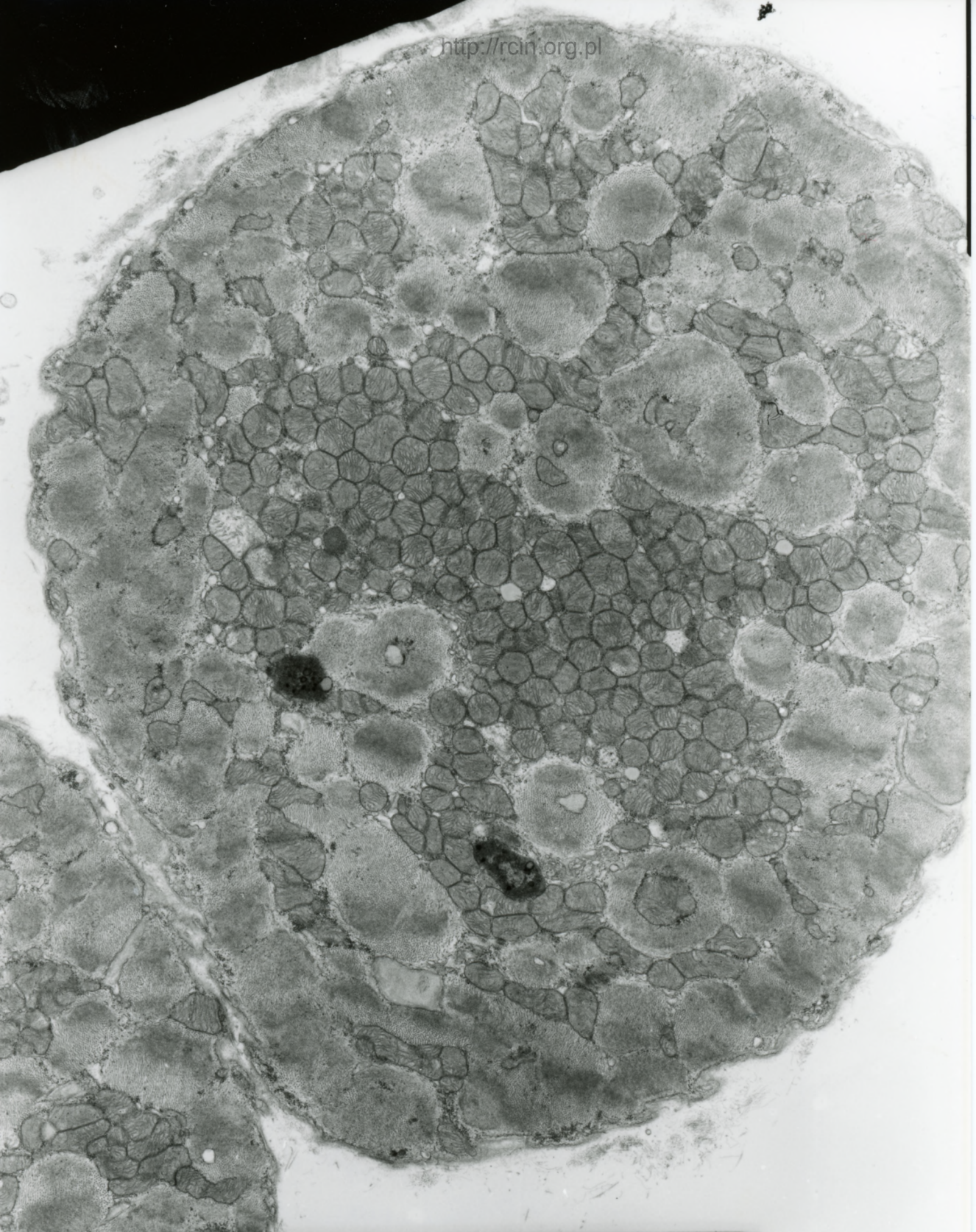


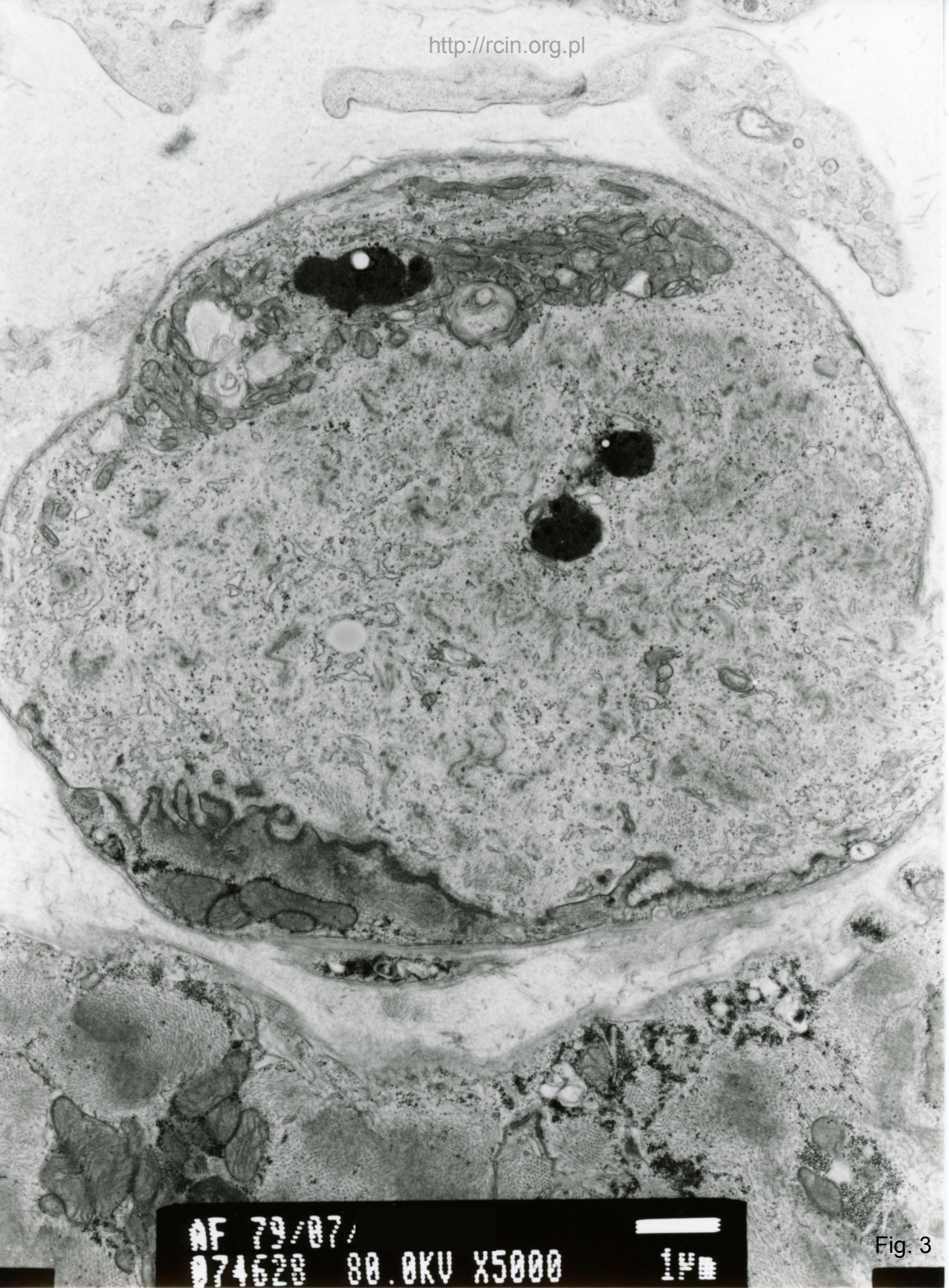
MF 79/07/SERCE
074578 80.0KV X3000 24

Fig. 1



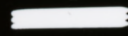
NF 79/07/
074627 80.0KV X3000 2µm

Fig. 2



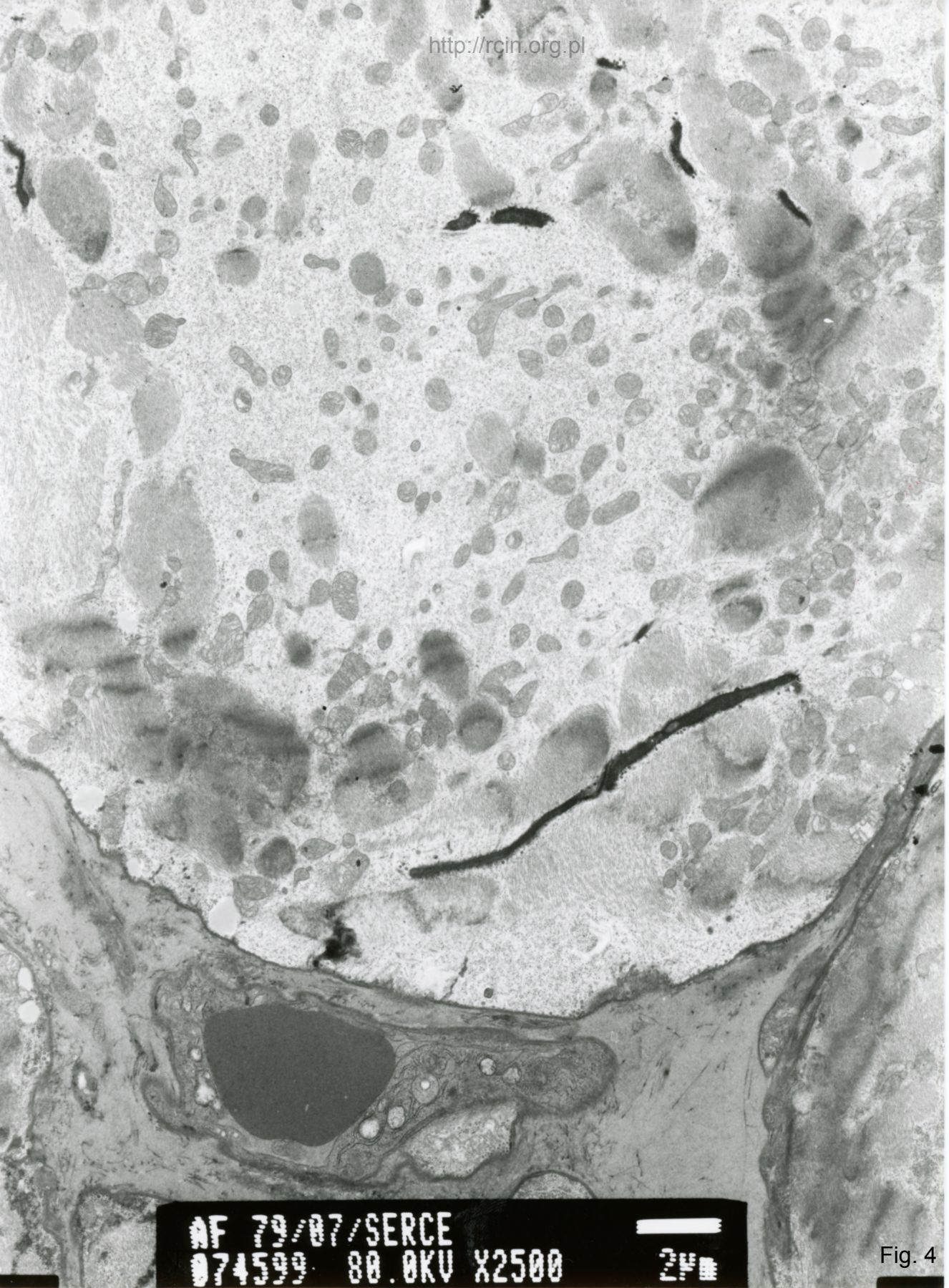
AF 79/07/

074628 80.0KV X5000



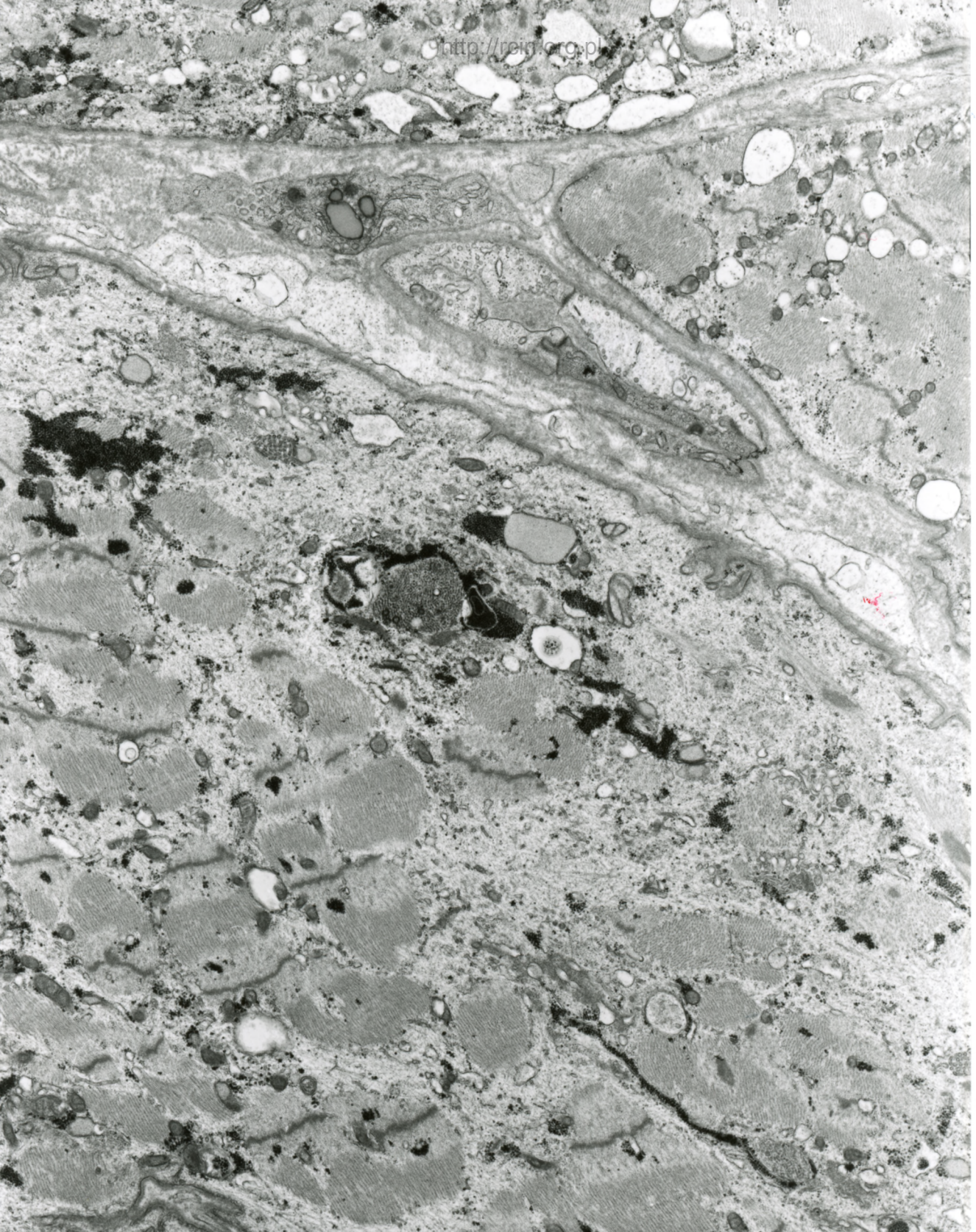
1µm

Fig. 3



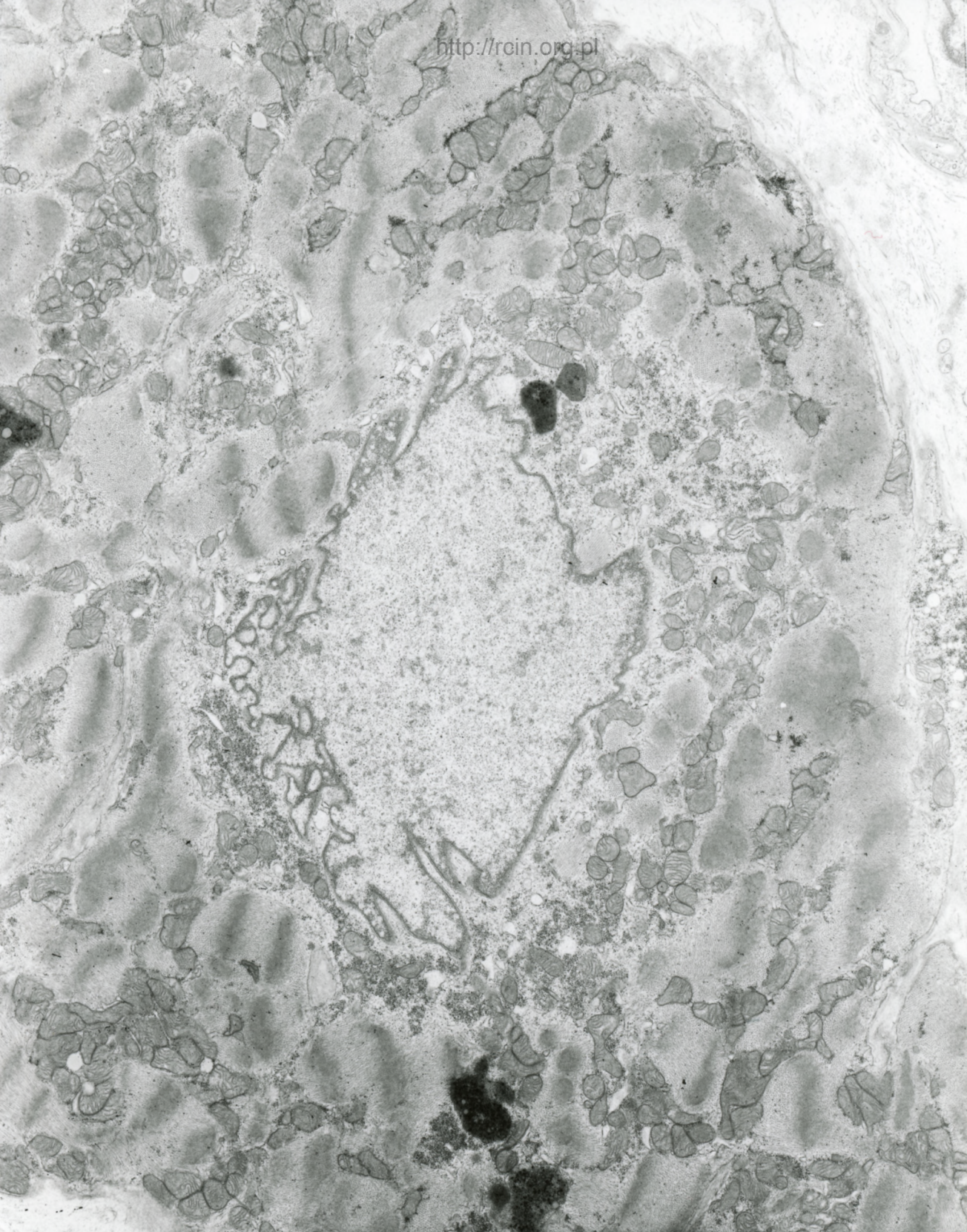
AF 79/07/SERCE
074599 80.0KV X2500 24

Fig. 4



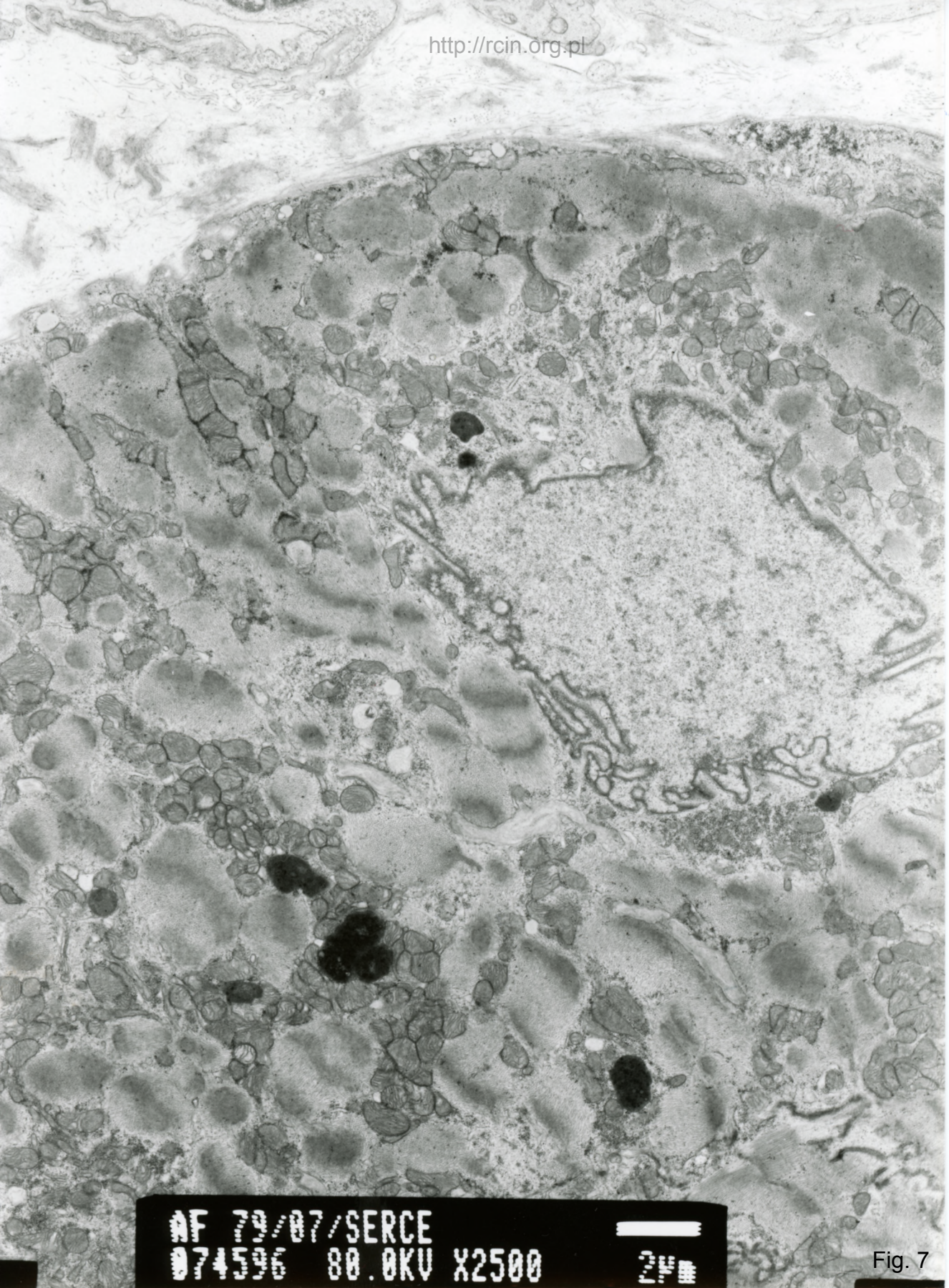
AF 79/07/SERCE
074593 80.0KV X4000 24

Fig. 5



AF 79/07/SERCE
074595 80.0KV X2500 24

Fig. 6



AF 79/07/SERCE
074596 80.0KV X2500

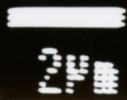
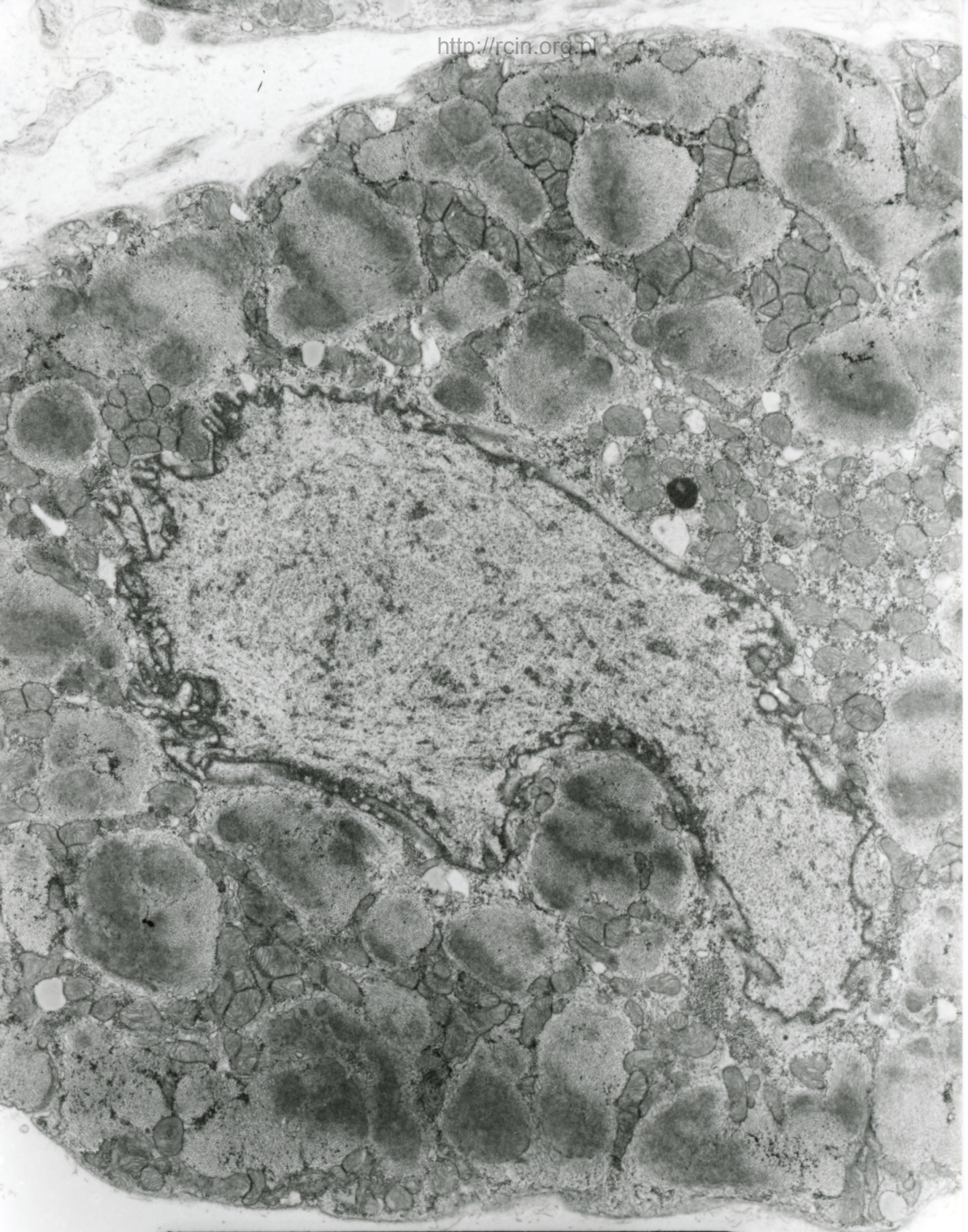
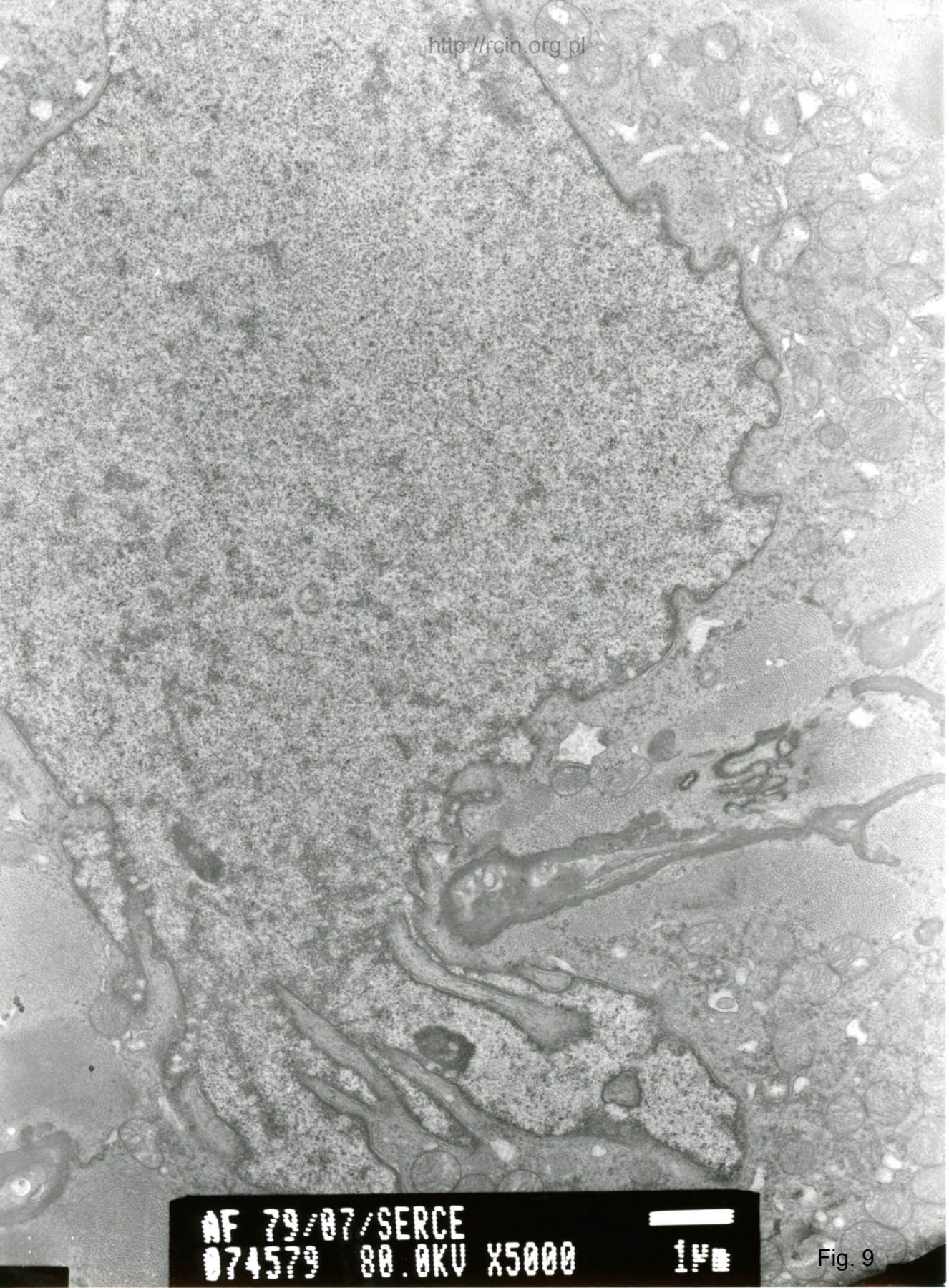


Fig. 7

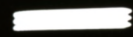


AF 79/07/
074629 80 OKU X3000 24

Fig. 8

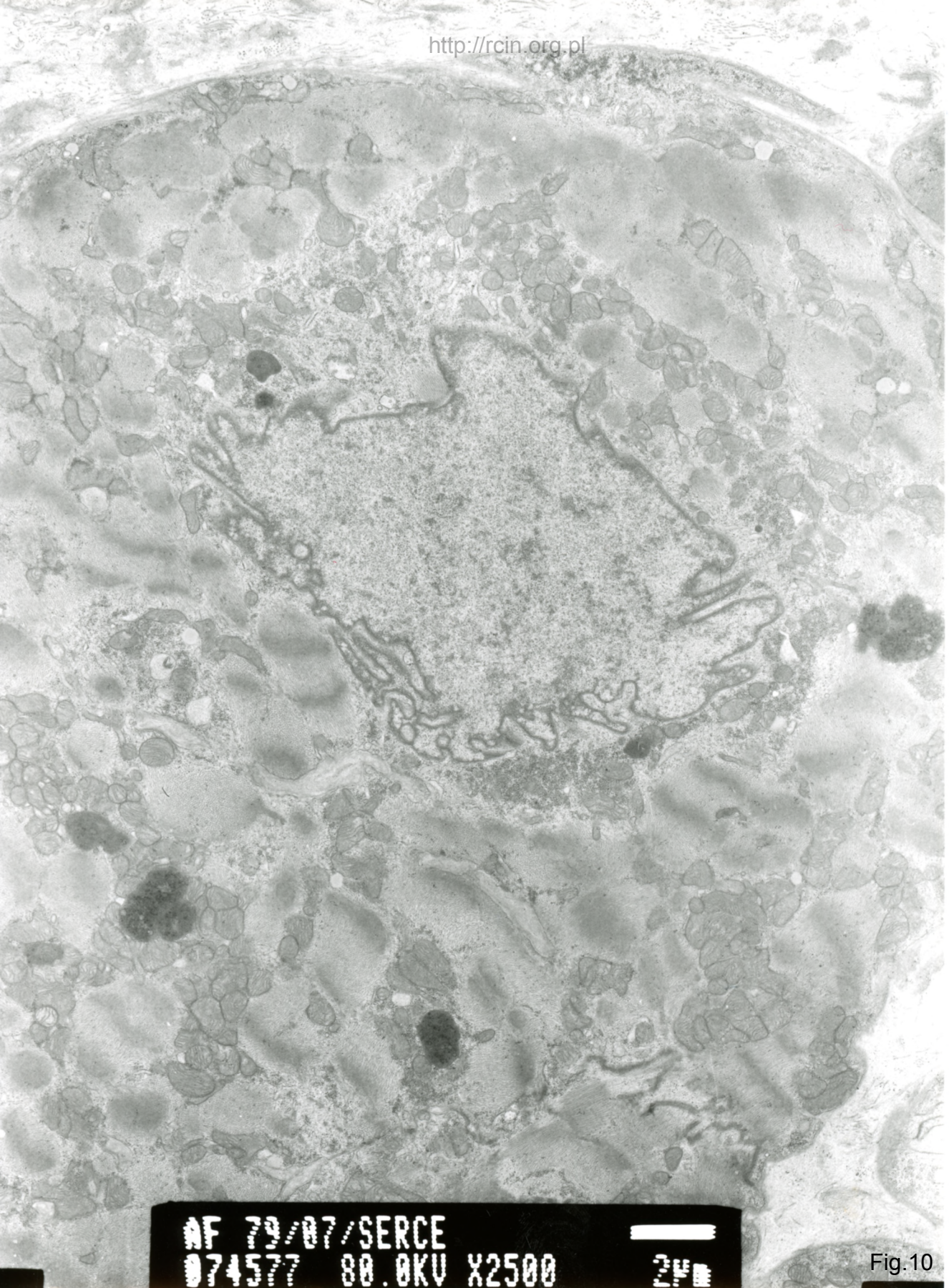


AF 79/07/SERCE
074579 80.0KV X5000



1 μm

Fig. 9

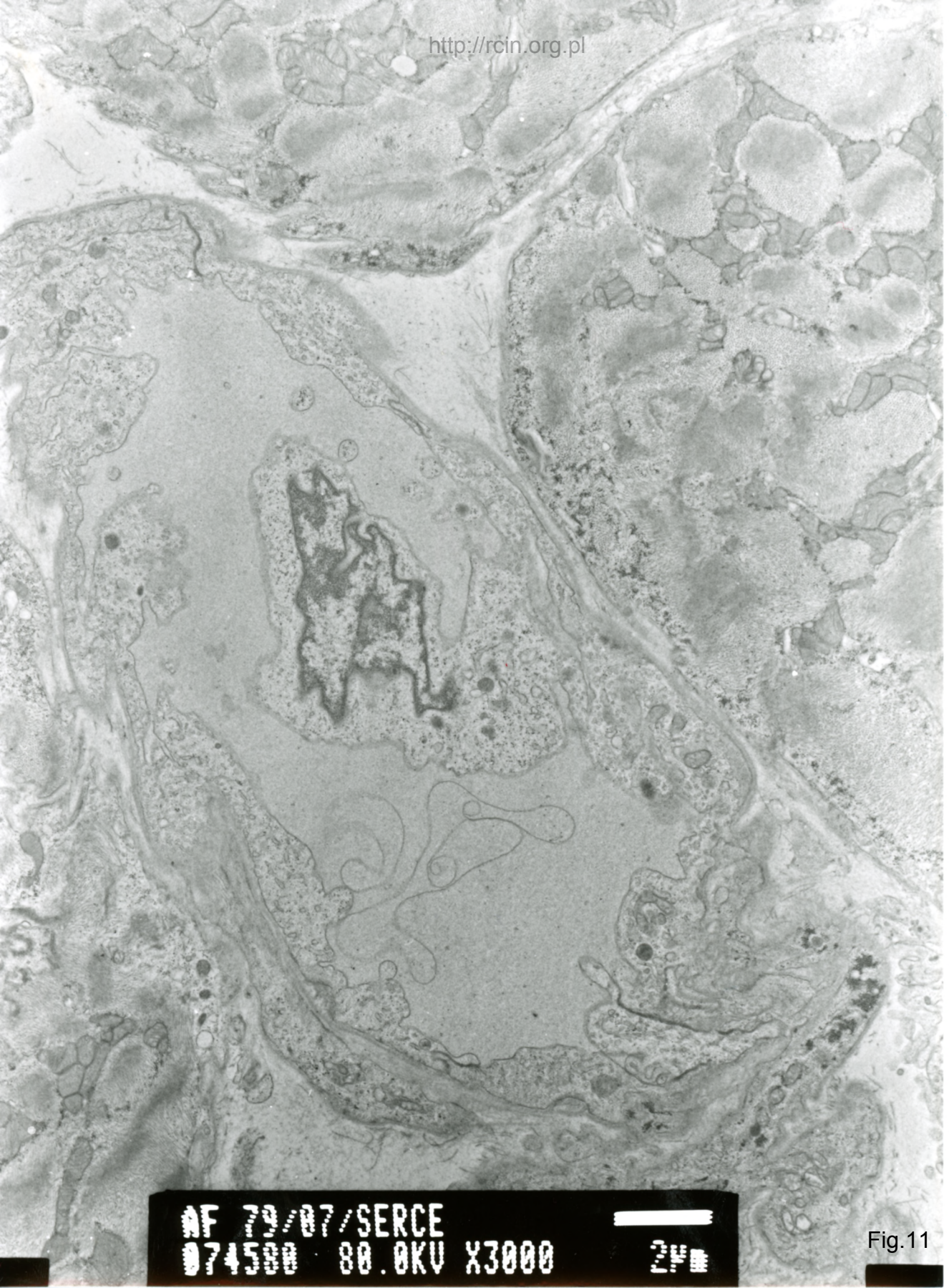


AF 79/07/SERCE
074577 80.0KV X2500



2µm

Fig.10



AF 79/07/SERCE
074500 80.0KV X3000

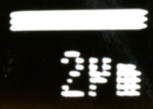
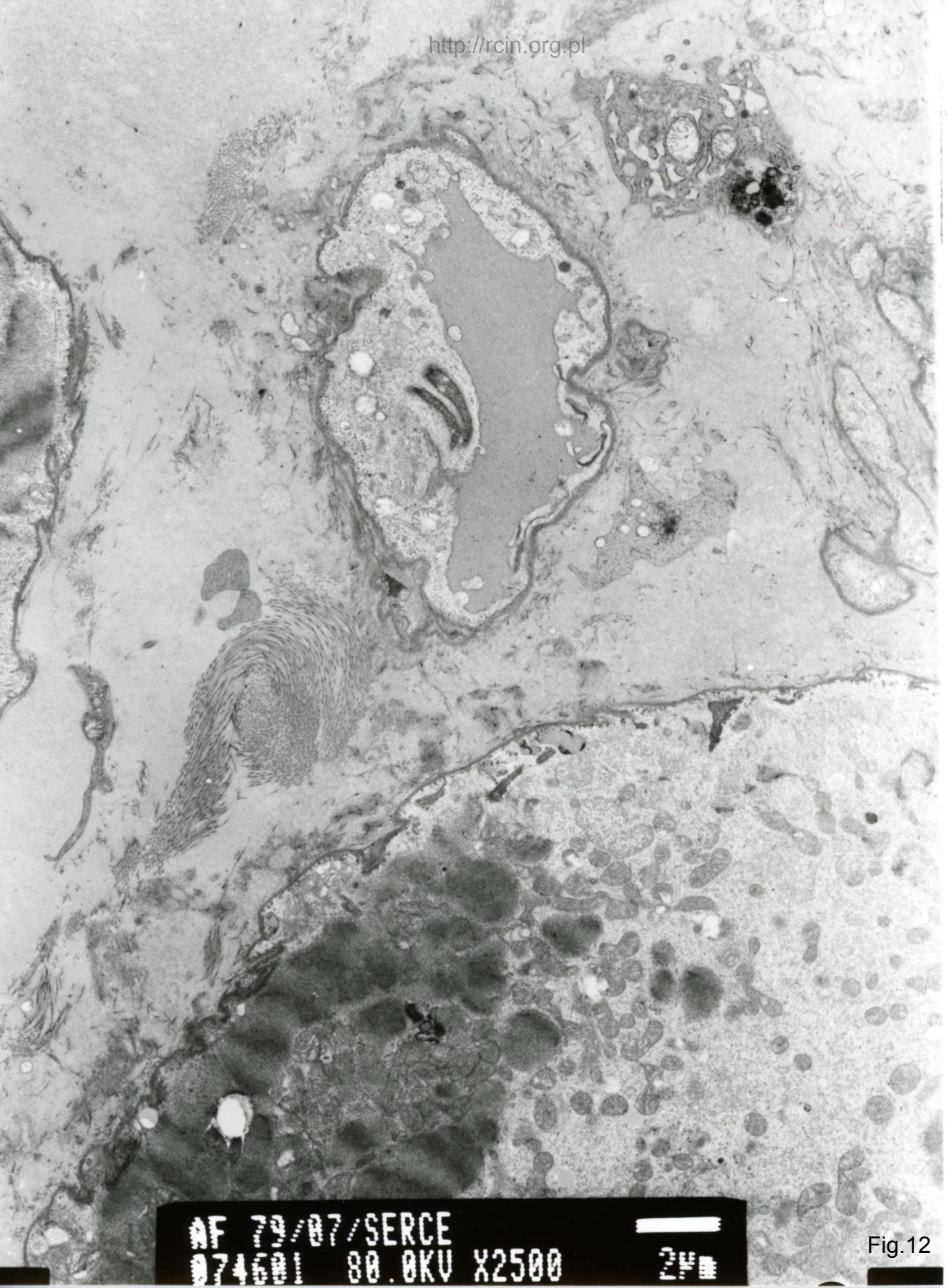


Fig.11



AF 79/07/SERCE
074601 80.0KV X2500

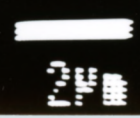


Fig.12

79/07

1. 41

Kardiomiopatia rozstrzeniowa

W ocenie ultrastrukturalnej widoczne ogniskowo zaburzenia w przebiegu miofilamentów i ich dezorganizacja (Fig. 1, 2,3,4,5). Jądra kardiomiocytów charakteryzują się nieregularnym kształtem (Fig. 6,7,8,9,10). W przestrzeni zewnątrzkomórkowej obecne są liczne naczynia kapilarne. Śródbłonki tych naczyń posiadają cechy nekrozy (Fig. 11,12).

Dilated cardiomyopathy

Ultrastructural analysis showed focal changes in the course of myofilaments and their disorganization (Figs. 1, 2,3,4,5). Cardiomyocyte nuclei were characterized by irregular shape (Figs. 6,7,8,9,10). In the extracellular space numerous capillaries were present. Endothelial cells of these vessels revealed features of necrosis (Figs. 11, 12).